

名古屋大学 正会員 松尾 純
 名古屋大学 正会員 川村 国夫

1. まことのこ; 掘削工事の事前設計では、施工開始前α 臭で最善が尽工ト、与えらトにカ学的、経済的条件の下で最適解を求めねトばならない。しかレ、周知α ふうに、設計・施工のプロセスには多くα 不確実性が存在するのど、トと之最適解であレトしてモ施工中、まには施工後での破壊のリスクをゼロに有レトは不可能である。仮に、何カα 原因によリ、現場α 破壊レトたらバ、工事工程や事前設計に大幅な変更を余儀なく工ト、直ちに工費α 大損害を招くトレハなる。レハ、こ、掘削施工は施工中α 観測を導入しレ定量的な施工管理によリ、トラブルを未然に察知し、必要な対策を講じながら施工を進めていくことα 重要トなる。換言すれば、施工レトリカからマ初めて得らレトる情報を利用し、事前設計を合理的に変更しなばら施工を進めねトばよい。本報告は掘削施工中に危険の兆候が予知工トレトモ、事前設計で決めらレト功ばり本数やα 設置箇所α 設計変更α 対象ト工ト、そレトらα 最適案を求めルことα 目的トしてレハ。

2. 施工中α 設計変更; 施工中に危険が予知工トレトモ、講じらレトる切ばり配置α 最適化はベイズリスク最小α 評価基準を用いて決定工トる。こ、山留α 壁に作用する土圧状態α 確率分布(パラメータθ)について考へる。施工の始まる前に、土質調査や過去α 施工経験トとを利用して、θ α 確からレトさα 確率密度関数ξ(θ)を予えらレトる。掘削を開始しレ直後α 山留α 壁天端直下レオ一段切ばりs₀α 設置工ト、その後掘削を進めていく。いま、図1に示すようレ、掘削深度が(a₁ ~ a₁+Δa)に達レトモ、危険な兆候が見らレトレトする。この時、直ちに施工を中止し、本報告で以下検討する対策工を実施するトレハなる。こ、こ、Δaは観測誤差である。危険な兆候が見受レトらレトレトモ、真α 安全率β = 1.0を意味する。こα ふうな条件下では、施工開始前に与えらレトる事前分布ξ(θ)はベイズの定理を使ッて次α ふうに修正工トる。可ばれら、

$$\xi(\theta | a_1, s_0) = \frac{\{P_F(\theta, a_1 + \Delta a | s_0) - P_F(\theta, a_1 | s_0)\} \xi(\theta)}{\int_{\theta} \text{numerator } d\theta} \quad \text{----- ①}$$

こ、こ、左辺ξ(θ | a₁, s₀)は切ばりs₀α 既に設置工トるα ち、掘削現場α 危険が深さ(a₁ ~ a₁+Δa)α 観測工トレト条件によリ、ξ(θ)α 修正工トることを示してレハ。まレ、P_F(θ, a₁ | s₀)は切ばりs₀α 設置下で、掘削深さa₁、土圧状態θ α とモα 現場破壊確率である。実際には、破壊α 発生は能計許さレないα ぞ、危険な兆候α 底ニ自前に適切α 深さα 切ばりs₁α 迅速に施工工トる。以下には、こα 切ばりα 最適設置箇所を求めようとしレトるのどある。いま、s₁α 設置工トる前後α 山留α 壁に作用する土圧分布が変化レないα と仮定バ、

$$\xi(\theta | a_1, s_1) = \xi(\theta | a_1, s_0) \quad \text{----- ②}$$

以上α 方法を施工を繰返せば、式②より式①は一一般形として、

$$\xi(\theta | a^j, s^j) = \frac{\{P_F(\theta, a_j + \Delta a | s^j) - P_F(\theta, a_j | s^j)\} \xi(\theta | a^{j-1}, s^{j-1})}{\int_{\theta} \text{numerator } d\theta} \quad \text{----- ③}$$

こ、こ、上つぎ添字は、a^j = {a₁, a₂, ..., a_j}、s^j = {s₀, s₁, ..., s_{j-1}}なる観測値と切ばり施工α 履歴を代表してレハ。こ、こ、本報告α 目的は、観測値α 系列a^jおよび施工履歴s^{j-1}が与えらレトらレトモ最適設置箇所を切ばりs_j^{*}α 決定するトレハなる。こ、こ、

$$s_j^* = s_j^*(a^j, s^{j-1}), \quad j \geq 1 \quad \text{----- ④}$$

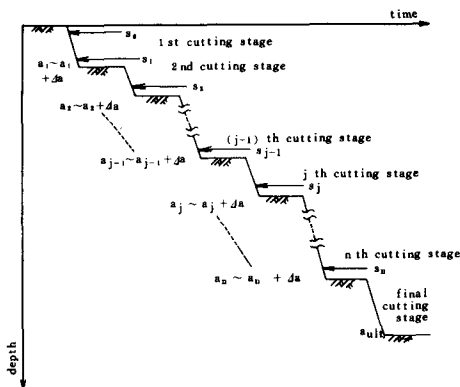


図1 掘削施工の概略図

と表わす。すなわち、 S_j^* が a^j, s^{j-1} の関数であることを示している。また a の値について最適化が行われることは、

$$S_1^* = S_1^*(a_1, s_0) = S_1^*(a^1, s^0), S_2^* = S_2^*(a_2, a_1, S_1^*, s_0) = S_2^*(a^2, S_1^*), \dots, S_n^* = S_n^*(a^n, S^{n-1}) \dots \textcircled{5}$$

が求めなければならない解の形式である。この解は次の方法で求めることができる。掘削完了時までに用いる土の切盛り本数と s_0 を除いて n 本を仮定しよう。このとき、最後の切盛り S_n が施工された時分から最終掘削深 a_{ult} まで掘削するコストは次の損失関数で表わされる。

$$L(\theta, S^n) = C_c \{1 - P_F(\theta, a_{ult} | S^n)\} + C_F P_F(\theta, a_{ult} | S^n) \dots \textcircled{6}$$

ここで、 C_c, C_F は初期建設費および破壊損失費である。また、施工段階を一段ずつ上げて危険が深さ a^{n-1} で観測したとき、これを基にした切盛りが S^{n-1} まで施工されたことになる。このとき a_n は観測された値である。このとき期待する損失関数 V_n は、 $\text{Prob}(a_n < a < a_n + \Delta a | \theta)$ に土圧状態 θ とこの掘削深度 $(a_n \sim a_n + \Delta a)$ の間で危険が非発見の見出確率があることを仮定し、次式で与えられる。

$$V_n = \int_{\theta \in A_n} \sum \text{Prob}(a_n < a < a_n + \Delta a) \cdot L(\theta, S^n) \xi(\theta | a^n, S^{n-1}) d\theta \dots \textcircled{7}$$

ここで、 $\text{Prob}(a_n < a < a_n + \Delta a) = P_F(\theta, a_n + \Delta a | S^{n-1}) - P_F(\theta, a_n | S^{n-1}) \dots \textcircled{8}$
式⑧を式⑦に代入し、式③を用いると、

$$V_n \propto \sum_{A_n} \int \xi(\theta | a^n, S^{n-1}) L(\theta, S^n) d\theta \dots \textcircled{9}$$

を得る。ここで、 V_n を最小にする S_n^* は A_n の関数として、

$$\min_{S_n} V_n \propto \sum_{A_n} \min_{S_n} \int \xi(\theta | a^n, S^{n-1}) L(\theta, S^n) d\theta \dots \textcircled{10}$$

から求まる。同様の式⑩の演算を一段ずつ上げて、第一段階掘削から順に行なうとすれば、期待損失 V_j ($j=1, 2, \dots, n$)を最小にする切盛り S_j^* の系列が式⑤の後から $(n, n-1, \dots, 1)$ 順で得られる。ここで、この解の系列に実際の観測値 Q_j ($j=1, 2, \dots, n$)を代入し、 $j=1 \rightarrow j=n$ の順に計算すれば、最適解の系列が求まる。

3.数値計算例；切盛りの最適配置と施工中の危険を観測したときまで決定したのでは異なる。ここで、実際には、施工開始前に数々のケースを想定し、それらに対応する最適解を求めておく方が合理的である。ある条件のもとで計算した最適解の一例を表1に示す。表1の計算に使われる諸条件は以下のとおりである。現場周辺の粘性土の盤の平均値は地表面付近で 1 t/m^2 、深さに対して増加するとし、その深さ平均は 3.5 t/m^2 と置く。一方、 c の平均値は深さにかかわらず一定とし、 1.6 t/m^2 と置く。また、これらの変動係数をそれぞれ $0.2, 0.05$ と設定し、その他の条件は表中に示している。表1からわかることは、 V の最適解は、危険を予知した掘削深よりも $0.5 \text{ m} \sim 1.0 \text{ m}$ 高いところの切盛りを設置しなければならないことを示している。この結果が、多くの経験と実績に基づいて実際の現場施工と一致していることは興味深い。その他のケースに関する最適解については当誌詳しく発表する予定である。

表1 事後設計 ($a_{ult}=10\text{m}, SP=IV, \text{ストラット} 6\text{本})$

a_1 (m)	s_1^* (m)	a_2 (m)	s_2^* (m)	a_3 (m)	s_3^* (m)	a_4 (m)	s_4^* (m)	a_5 (m)	s_5^* (m)
6	5.5	8	7.5	9	8.5				
		7	6.0	8	7.0	9	8.5		
		6	5.0	7	6.0	8	7.0	9	8.5
5	4.5	8	7.5	9	8.5				
		7	6.5	8	7.0	9	8.5		
		6	6.0	7	6.0	8	7.0	9	8.5
		6	5.0	7	6.0	8	7.0	9	8.5
		6	5.0	7	6.0	8	7.0	9	8.5
4	3.5	8	7.5	9	8.5				
		7	6.5	8	7.0	9	8.5		
		6	6.0	7	6.0	8	7.0	9	8.5
		6	5.0	7	6.0	8	7.0	9	8.5
		5	4.0	6	5.0	7	6.0	8	7.5
		5	4.0	6	5.0	7	6.0	8	7.5
		5	4.0	6	5.0	7	6.0	8	7.5
		5	4.0	6	5.0	7	6.0	8	7.5
		5	4.0	6	5.0	7	6.0	8	7.5
		5	4.0	6	5.0	7	6.0	8	7.5
3	2.5	8	7.5	9	8.5				
		7	6.5	8	7.0	9	8.5		
		6*	6.0	7	6.0	8	7.0	9	8.5
		6*	5.5	7	6.0	8	7.0	9	8.5
		6*	5.5	7	6.0	8	7.0	9	8.5
		6*	5.5	7	6.0	8	7.0	9	8.5
		5	4.5	6	5.0	7	6.0	8	7.5
		5	4.5	6	5.0	7	6.0	8	7.5
		5	4.5	6	5.0	7	6.0	8	7.5
		5	4.5	6	5.0	7	6.0	8	7.5
		5	4.5	6	5.0	7	6.0	8	7.5
		4	3.0	8	7.5	9	8.5		
7	6.0			8	7.0	9	8.5		
6	5.0			7	6.0	8	7.0	9	8.5
6	5.0			7	6.0	8	7.0	9	8.5
6	5.0			7	6.0	8	7.0	9	8.5
6	5.0			7	6.0	8	7.0	9	8.5
6	5.0			7	6.0	8	7.0	9	8.5
6	5.0			7	6.0	8	7.0	9	8.5
6	5.0			7	6.0	8	7.0	9	8.5
6	5.0			7	6.0	8	7.0	9	8.5